

УДК 629.124.791.2.039

ВЛИЯНИЕ СНЕЖНОГО ПОКРОВА НА ПАРАМЕТРЫ ИЗГИБНО-ГРАВИТАЦИОННЫХ ВОЛН В ЛЕДЯНОМ ПОКРОВЕ

В. М. Козин, В. Л. Земляк*, В. Ю. Верещагин**

Институт машиноведения и металлургии ДВО РАН, 681005 Комсомольск-на-Амуре

* Комсомольский-на-Амуре государственный технический университет,
681013 Комсомольск-на-Амуре

** Амурский гуманитарно-педагогический государственный университет,
681000 Комсомольск-на-Амуре

E-mail: klirickv@gmail.com

Представлена математическая модель для анализа напряженно-деформированного состояния ледяного покрова при наличии слоя снега, которое возникает под действием динамических нагрузок. С использованием модели неразрушаемого льда выполнены численные расчеты и проведено их сравнение с известными экспериментальными данными.

Ключевые слова: изгибно-гравитационные волны, резонансный метод разрушения льда, резонансная скорость.

Введение. Разрушение ледяного покрова может осуществляться различными способами и техническими средствами. Перспективным методом разрушения ледяного покрова является резонансный метод, заключающийся в возбуждении во льду резонансных изгибно-гравитационных волн движущимися нагрузками, в частности амфибийными судами на воздушной подушке [1]. При проведении ледокольных работ резонансным методом свободный от снега ледяной покров встречается редко. Данная работа посвящена исследованию влияния снежного покрова на параметры изгибно-гравитационных волн, возбуждаемых в ледяном покрове движущимися нагрузками.

1. Теоретические зависимости. Рассмотрим задачу деформирования бесконечной флотирующей ледяной пластины с плотностью ρ_1 при движении по ней системы поверхностных давлений q со скоростью u . Используется следующая система координат: плоскость xOy совпадает с невозмущенной поверхностью раздела лед — вода, направление оси x совпадает с направлением движения судна, ось z направлена вертикально вверх. Предполагается, что вода представляет собой идеальную несжимаемую жидкость с плотностью ρ_2 и ее движение является потенциальным. Ледяной покров моделируется вязкоупругой изначально не напряженной изотропной пластиной.

В общем случае уравнение малых колебаний плавающей вязкоупругой ледяной пластины записывается в виде [2]

$$\frac{G_m h^3}{3} Q \left(3P + \frac{GQ}{K} \right) \nabla^4 w = P \left(3P + \frac{2GQ}{K} \right) \left(-q - \rho_2 g w - \rho_1 h \frac{\partial^2 w}{\partial t^2} - \rho_2 \frac{\partial \varphi}{\partial t} \Big|_{z=0} \right), \quad (1)$$

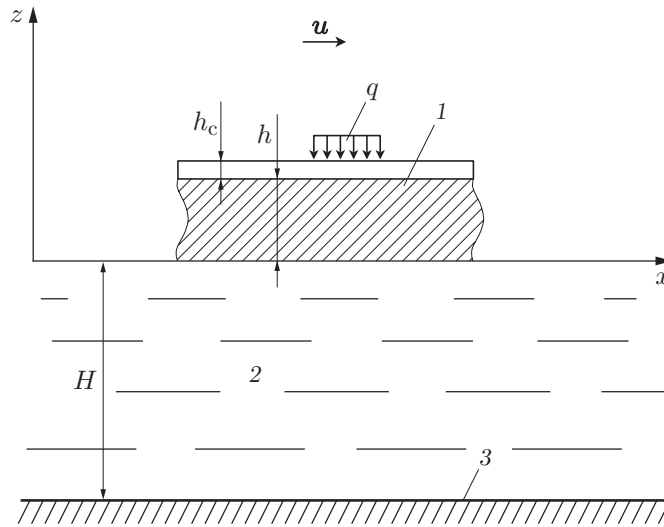


Рис. 1. Расчетная схема:
1 — лед, 2 — вода, 3 — дно водоема

где $\nabla = \frac{\partial}{\partial x} \cdot \mathbf{i} + \frac{\partial}{\partial y} \cdot \mathbf{j} + \frac{\partial}{\partial z} \cdot \mathbf{k}$; G_m — модуль упругости при сдвиге; g — ускорение свободного падения; $G = E/[2(1 + \nu)]$; E — модуль Юнга; ν — коэффициент Пуассона; K — модуль всестороннего сжатия; P, Q — линейные дифференциальные операторы [3], выбираемые в зависимости от принятой для льда реологической модели; h — толщина ледяной пластины; w — вертикальное перемещение льда и воды; $\varphi = \varphi(x, y, z, t)$ — функция потенциала скорости жидкости, удовлетворяющая уравнению Лапласа $\Delta\varphi = 0$. В качестве линейной вязкоупругой среды, имитирующей лед, выбрана среда, полученная из моделей Максвелла и Кельвина, соединенных последовательно. Без учета упругой сжимаемости льда ($K \rightarrow \infty$) уравнение (1) принимает вид

$$\frac{G_m h^3}{3} Q \nabla^4 w = P \left(-q - \rho_2 g w - \rho_1 h \frac{\partial^2 w}{\partial t^2} - \rho_2 \frac{\partial \varphi}{\partial t} \Big|_{z=0} \right). \quad (2)$$

В данной работе рассматривается случай, когда пластина покрыта слоем снега толщиной h_c (рис. 1), упругость которого пренебрежимо мала по сравнению с упругостью ледяной пластины, т. е. ею можно пренебречь. Для учета вязкости слоя снега в уравнение (2) введены дополнительные члены. Как известно, снежный покров на льду можно моделировать слоем вязкой жидкости с коэффициентом внутреннего трения η_c [2], т. е. не учитывать объемную (вторую) вязкость, характеризующую необратимое превращение механической энергии в тепло, происходящее при объемных деформациях и при прохождении звуковых и ультразвуковых волн в жидкостях. Сжатие снега непосредственно под нагрузкой не влияет на параметры изгибно-гравитационных волн, так как площадь сжатой области пренебрежимо мала по сравнению со всей площадью колеблющегося ледяного покрова. Добавляя в дифференциальное уравнение изгиба ледяной пластины (2) инерционные силы $\rho_c h_c \partial^2 w / \partial t^2$ и силы, обусловленные вязкостью снежного покрова, $\eta_c h_c \partial \nabla^2 w / \partial t$, получаем уравнение малых колебаний плавающей вязкоупругой ледяной пластины с учетом наличия слоя снега:

$$\frac{G_m h^3}{3} Q \nabla^4 w = P \left(-q - \rho_2 g w - (\rho_1 h + \rho_c h_c) \frac{\rho_2 w}{\partial t^2} - \eta_c h_c \frac{\partial}{\partial t} \nabla^2 w - \rho_2 w - \rho_2 \frac{\partial \varphi}{\partial t} \Big|_{z=0} \right). \quad (3)$$

Здесь

$$P = \tau_m^{-1} + \left(1 + \frac{G_m}{G_k} + \frac{\tau_k}{\tau_m}\right) \frac{\partial}{\partial t} + \tau_k \frac{\partial^2}{\partial t^2}, \quad Q = \frac{\partial}{\partial t} + \tau_k \frac{\partial^2}{\partial t^2},$$

ρ_c — плотность снежного покрова; τ_m, τ_k — времена релаксации в моделях Максвелла и Кельвина — Фойгта; G_m, G_k — соответствующие модули упругости при сдвиге.

При стационарном режиме движения нагрузки уравнение (3) принимает вид

$$\begin{aligned} & \frac{G_m h^3}{3} \left(-u \frac{\partial}{\partial x} + \tau_k u^2 \frac{\partial^2}{\partial x^2}\right) \nabla^4 w + \left(\tau_m^{-1} + \left(1 + \frac{G_m}{G_k} + \frac{\tau_k}{\tau_m}\right) \left(-u \frac{\partial}{\partial x}\right) + \tau_k u^2 \frac{\partial^2}{\partial x^2}\right) \times \\ & \times \left(q + \rho_2 g w + (\rho_1 h + \rho_c h_c) u^2 \frac{\partial^2 w}{\partial x^2} + \eta_c h_c \left(-u \frac{\partial}{\partial x}\right) \nabla^2 w - \rho_2 u \frac{\partial \varphi}{\partial x} \Big|_{z=0}\right) = 0. \end{aligned} \quad (4)$$

Решение уравнения (4) при $q = \text{const}$ и краевых условиях

$$\frac{\partial \varphi}{\partial z} \Big|_{z=-H} = 0, \quad \frac{\partial \varphi}{\partial z} \Big|_{z=0} = -u \frac{\partial w}{\partial x}$$

в области $x_1 \in [-L/2; L/2]$, $y_1 \in [-L/(2\omega); L/(2\omega)]$ имеет вид

$$\begin{aligned} \text{Re}(w(x, y)) &= \frac{q_0}{4\rho_2 u^2 \alpha_1 \alpha_2} \int_0^\infty \lambda^2 \text{th}(\lambda H) \int_0^\lambda \cos(\sqrt{\lambda^2 - \alpha^2} y) \times \\ & \times \frac{\sin(\alpha L/2) \sin(\sqrt{\lambda^2 - \alpha^2} L/(2\omega))}{\text{sh}(\pi\alpha/(2\alpha_1)) \text{sh}(\pi\sqrt{\lambda^2 - \alpha^2}/(2\alpha_2))} \frac{1}{\sqrt{\lambda^2 - \alpha^2} (\xi^2 + \eta^2)} \times \\ & \times \left[\left((\tau_m^{-1} - \tau_k u^2 \alpha^2) \cos(\alpha x) + \left(1 + \frac{G_m}{G_k} + \frac{\tau_k}{\tau_m}\right) u \alpha \sin(\alpha x) \right) \xi + \right. \\ & \left. + \left((\tau_m^{-1} - \tau_k u^2 \alpha^2) \sin(\alpha x) - \left(1 + \frac{G_m}{G_k} + \frac{\tau_k}{\tau_m}\right) u \alpha \cos(\alpha x) \right) \eta \right] d\alpha d\lambda, \end{aligned}$$

где

$$\begin{aligned} \xi &= -\frac{G_m h^3 \alpha^2 \lambda^5 \tau_k \text{th}(\lambda H)}{3\rho_2} + \tau_m^{-1} \left(\frac{g\lambda \text{th}(\lambda H)}{u^2} - \frac{\alpha^2 \lambda (\rho_1 H + \rho_c h_c) \text{th}(\lambda H)}{\rho_2} - \alpha^2 \right) + \\ & + \left(1 + \frac{G_m}{G_k} + \frac{\tau_k}{\tau_m}\right) \frac{\eta_c h_c \alpha^2 \lambda^3 \text{th}(\lambda H)}{\rho_2} + \\ & + \tau_k \alpha^2 \left(-g\lambda \text{th}(\lambda H) + \frac{u^2 \alpha^2 \lambda (\rho_1 h + \rho_c h_c) \text{th}(\lambda H)}{\rho_2} + u^2 \alpha^2 \right), \\ \eta &= -\frac{G_m h^3 \alpha^3 \lambda^5 \text{th}(\lambda H)}{3\rho_2 u} + \tau_m^{-1} \frac{\eta_c h_c \alpha \lambda^3 \text{th}(\lambda H)}{u\rho_2} + \\ & + \left(1 + \frac{G_m}{G_k} + \frac{\tau_k}{\tau_m}\right) \left(-\frac{\alpha g \lambda \text{th}(\lambda H)}{u} + \frac{u \alpha^3 \lambda (\rho_1 h + \rho_c h_c) \text{th}(\lambda H)}{\rho_2} + u \alpha^3 \right) - \\ & - \tau_k \frac{u \alpha^3 \eta_c h_c \lambda^3 \text{th}(\lambda H)}{\rho_2}. \end{aligned}$$

2. Определение полей изгибных напряжений. Изгибные и крутящий моменты, действующие в сечениях, нормальных к осям x, y , связаны с прогибом пластины зависимостями

$$M_x = -D \left(\frac{\partial^2}{\partial x^2} \left(w + \tau_f \frac{\partial w}{\partial t} \right) + \nu \frac{\partial^2}{\partial y^2} \left(w + \tau_f \frac{\partial w}{\partial t} \right) \right),$$

$$M_y = -D \left(\frac{\partial^2}{\partial y^2} \left(w + \tau_f \frac{\partial w}{\partial t} \right) + \nu \frac{\partial^2}{\partial x^2} \left(w + \tau_f \frac{\partial w}{\partial t} \right) \right),$$

$$M_{xy} = D(1 - \nu) \frac{\partial^2}{\partial x \partial y} \left(w + \tau_f \frac{\partial w}{\partial t} \right),$$

где $D = Eh^3/[12(1 - \nu^2)]$ — цилиндрическая жесткость; $\tau_f = \eta/E$ — время релаксации деформаций. Таким образом,

$$\sigma_x^0 \max = \pm 6M_x/h^2, \quad \sigma_y^0 \max = \pm 6M_y/h^2, \quad \tau_{xy}^0 \max = \pm 6M_{xy}/h^2,$$

где

$$M_x = D \frac{q_0}{4\rho_2 u^2 \alpha_1 \alpha_2} \int_0^\infty \lambda^2 \operatorname{th}(\lambda h) \int_0^\lambda (\alpha^2 + \nu(\lambda^2 - \alpha^2)) \cos(\sqrt{\lambda^2 - \alpha^2} y) \times$$

$$\times \frac{\sin(\alpha L/2) \sin(\sqrt{\lambda^2 - \alpha^2} L/(2\omega))}{\operatorname{sh}(\pi\alpha/(2a_1)) \operatorname{sh}(\pi\sqrt{\lambda^2 - \alpha^2}/(2\alpha_2))} \frac{1}{\sqrt{\lambda^2 - \alpha^2} (\xi^2 + \eta^2)} \times$$

$$\times \left[\left((\tau_m^{-1} - \tau_k u^2 \alpha^2) \cos(\alpha x) + \left(1 + \frac{G_m}{G_k} + \frac{\tau_k}{\tau_m} \right) u \alpha \sin(\alpha x) \right) \xi + \right.$$

$$\left. + \left((\tau_m^{-1} - \tau_k u^2 \alpha^2) \sin(\alpha x) - \left(1 + \frac{G_m}{G_k} + \frac{\tau_k}{\tau_m} \right) u \alpha \cos(\alpha x) \right) \eta \right] d\alpha d\lambda,$$

$$M_y = D \frac{q_0}{4\rho_2 u^2 \alpha_1 \alpha_2} \int_0^\infty \lambda^2 \operatorname{th}(\lambda h) \int_0^\lambda (\lambda^2 - \alpha^2 + \nu\lambda^2) \cos(\sqrt{\lambda^2 - \alpha^2} y) \times$$

$$\times \frac{\sin(\alpha L/2) \sin(\sqrt{\lambda^2 - \alpha^2} L/(2\omega))}{\operatorname{sh}(\pi\alpha/(2a_1)) \operatorname{sh}(\pi\sqrt{\lambda^2 - \alpha^2}/(2\alpha_2))} \frac{1}{\sqrt{\lambda^2 - \alpha^2} (\xi^2 + \eta^2)} \times$$

$$\times \left[\left((\tau_m^{-1} - \tau_k u^2 \alpha^2) \cos(\alpha x) + \left(1 + \frac{G_m}{G_k} + \frac{\tau_k}{\tau_m} \right) u \alpha \sin(\alpha x) \right) \xi + \right.$$

$$\left. + \left((\tau_m^{-1} - \tau_k u^2 \alpha^2) \sin(\alpha x) - \left(1 + \frac{G_m}{G_k} + \frac{\tau_k}{\tau_m} \right) u \alpha \cos(\alpha x) \right) \eta \right] d\alpha d\lambda,$$

$$M_{xy} = D(1 - \nu) \frac{q_0}{4\rho_2 u^2 \alpha_1 \alpha_2} \int_0^\infty \lambda^2 \operatorname{th}(\lambda h) \int_0^\lambda \alpha \sin(\sqrt{\lambda^2 - \alpha^2} y) \sqrt{\lambda^2 - \alpha^2} \times$$

$$\times \frac{\sin(\alpha L/2) \sin(\sqrt{\lambda^2 - \alpha^2} L/(2\omega))}{\operatorname{sh}(\pi\alpha/(2a_1)) \operatorname{sh}(\pi\sqrt{\lambda^2 - \alpha^2}/(2\alpha_2))} \frac{1}{\sqrt{\lambda^2 - \alpha^2} (\xi^2 + \eta^2)} \times$$

$$\left[\left(-(\tau_m^{-1} - \tau_k u^2 \alpha^2) \sin(\alpha x) + \left(1 + \frac{G_m}{G_k} + \frac{\tau_k}{\tau_m} \right) u \alpha \cos(\alpha x) \right) \xi + \right.$$

$$\left. + \left((\tau_m^{-1} - \tau_k u^2 \alpha^2) \cos(\alpha x) + \left(1 + \frac{G_m}{G_k} + \frac{\tau_k}{\tau_m} \right) u \alpha \sin(\alpha x) \right) \eta \right] d\alpha d\lambda.$$

Результаты расчетов напряжений по приведенным выше зависимостям представлены на рис. 2 ($\bar{\sigma}_x = \sigma_x/\sigma_{x0}$, σ_{x0} — статические напряжения). Характеристики ледяного покрова взяты из работы [4].

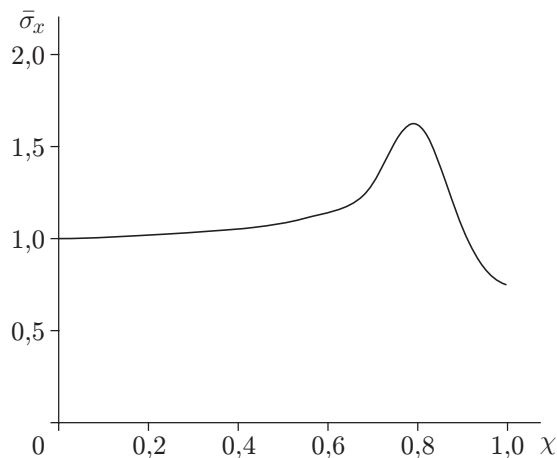


Рис. 2. Зависимость наибольших относительных напряжений в ледяном покрове от скорости нагрузки $\chi = u/\sqrt{gH}$

Для проверки полученных зависимостей проведено сравнение результатов теоретических расчетов прогибов ледяного покрова без снежного покрова с экспериментальными данными [4] при следующих значениях параметров: $\rho_2 = 1000 \text{ кг/м}^3$, $\rho_1 = 900 \text{ кг/м}^3$, $h = 0,075 \text{ м}$, $H = 6,8 \text{ м}$, $L = 1,23 \text{ м}$, $q_0 = 406,5 \text{ Па}$, $\tau_m = \tau_k = 0,34 \text{ с}$. Полученные результаты представлены на рис. 3.

Следует отметить, что вблизи движущейся нагрузки, т. е. в области возникновения максимальных прогибов, в которой вероятность разрушения ледяного покрова наибольшая, результаты хорошо согласуются.

3. Исследование влияния вязкого слоя на напряженно-деформированное состояние льда. Теоретические расчеты напряженно-деформированного состояния ледяной пластины при наличии на ней вязкого слоя (снежного покрова) проводились при следующих значениях параметров: коэффициент внутреннего трения вязкого слоя $\eta_c = -0,3 \cdot 10^6 \text{ П}$, толщина вязкого слоя $h_c = 0,5; 1,0 \text{ м}$, интенсивность нагрузки $q = 3300 \text{ Па}$, площадь распределения нагрузки $s = 350 \text{ м}^2$, длина судна $L = 2,4 \text{ м}$, глубина водоема $H = 10 \text{ м}$. Скорость движения нагрузки варьировалась в диапазоне $\chi = 0 \div 1,2$. Проведена серия экспериментов с использованием неразрушаемой модели льда в оптовом бассейне с размерами $5,0 \times 1,8 \times 0,6 \text{ м}$ [5] и известной методики моделирования [6]. В экспериментах ледяной покров моделировался упругой пленкой с известным модулем упругости $E = 5 \cdot 10^9 \text{ Па}$. Толщина ледяного и снежного покровов, а также глубина водоема, параметры нагрузки и скорость ее перемещения принимались такими же, как в теоретических расчетах.

Результаты расчетов напряженно-деформированного состояния льда и данные экспериментов приведены на рис. 4 ($\bar{w} = w/w_{sp}$, $\bar{\sigma}_x = \sigma_x/\sigma_{xsp}$, $\bar{\sigma}_y = \sigma_y/\sigma_{y sp}$, w , σ_x , σ_y — статические прогиб и напряжения, w_{sp} , σ_{xsp} , $\sigma_{y sp}$ — прогиб и напряжения с учетом снежного покрова). На рис. 4 представлены графики относительных перемещений \bar{w} и относительных напряжений $\bar{\sigma}$. Видно, что наличие вязкого слоя, как и следовало ожидать, приводит к уменьшению напряжений и при наличии на ледяном покрове плотного слежавшегося снега с большой вязкостью его влияние на напряженно-деформированное состояние льда может быть значительным.

Анализ результатов выполненных исследований показывает, что с использованием предлагаемой модели можно проводить расчеты напряженно-деформированного состояния ледяной пластины с учетом наличия снежного покрова.

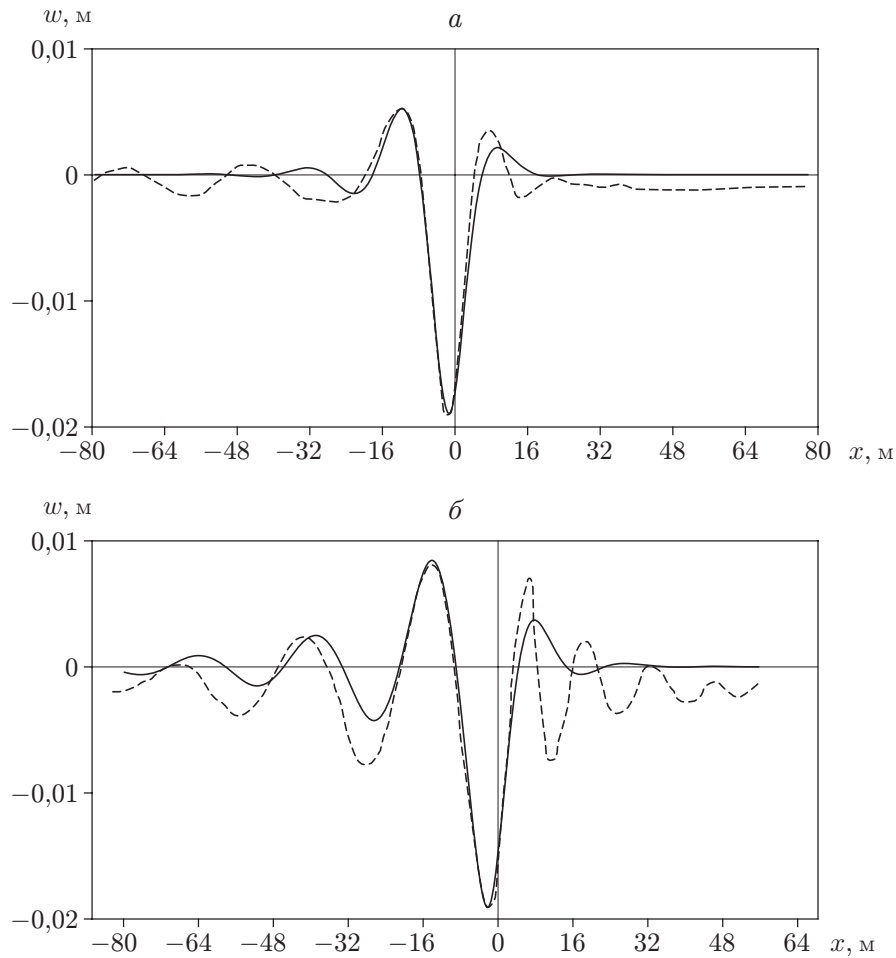


Рис. 3. Прогибы ледяной пластины при различных скоростях судна:
a — $u = 4,2$ м/с, *б* — $u = 5,6$ м/с; сплошные линии — результаты расчетов, штриховые — экспериментальные данные [4]

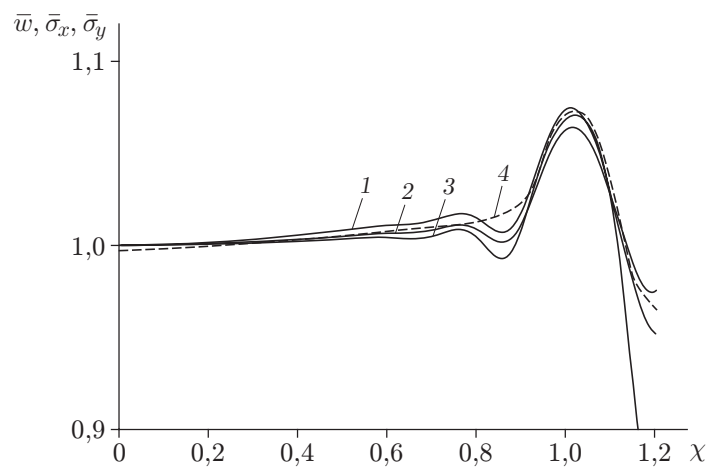


Рис. 4. Относительные прогибы \bar{w} и напряжения $\bar{\sigma}_x, \bar{\sigma}_y$ в ледяном покрове:
 1, 4 — относительный прогиб \bar{w} (1 — результаты расчетов, 4 — данные экспериментов), 2 — относительные продольные напряжения $\bar{\sigma}_x$, 3 — относительные поперечные напряжения $\bar{\sigma}_y$

Натурные эксперименты [1] показали, что разрушить свободные от снега участки льда легче, чем заснеженный ледяной покров. Это свидетельствует о необходимости корректировки известных данных о ледоразрушающей способности судна на воздушной подушке в случае чистого льда [1] с полученными теоретическими результатами. Использование этих результатов при определении максимальной разрушаемой толщины слоя льда с учетом наличия снежного покрова позволит более эффективно планировать проведение ледокольных работ.

ЛИТЕРАТУРА

1. **Козин В. М.** Резонансный метод разрушения ледяного покрова. Изобретения и эксперименты. М.: Акад. естествознания, 2007.
2. **Хейсин Д. Е.** Динамика ледяного покрова. Л.: Гидрометеиздат, 1967.
3. **Филиппов А. П.** Установившиеся колебания бесконечно длинной балки, лежащей на упругом полупространстве, под действием движущейся силы // Изв. АН СССР. Отд-ние техн. наук. Механика и машиностроение. 1961. № 6. С. 97–105.
4. **Takizawa T.** Deflection of a floating sea ice sheet induced by a moving load // Cold Regions Sci. Technol. 1985. V. 11. P. 123–139.
5. **Земляк В. Л.** Лаборатория механики сплошных сред // Вестник Комсомольского-на-Амуре государственного технического университета: Сб. науч. тр. Комсомольск-на-Амуре: Комс.-на-Амуре гос. техн. ун-т, 2009. С. 244–246.
6. **Козин В. М.** Обоснование исходных данных для выбора основных параметров СВП, предназначенных для разрушения ледяного покрова резонансным способом: Дис. ... канд. техн. наук. Горький, 1983.

*Поступила в редакцию 17/II 2012 г.,
в окончательном варианте — 13/IX 2012 г.*
